

Déclaration des performances

N° HBS-2026-001 R32-250

1. Type de produit :

Clous d'ancrage autoforants

Système de barre creuse DSI® R32-250

2. Emploi(s) prévu(s) :

Les clous d'ancrage sont destinés à stabiliser le sol et la roche par l'installation d'éléments de traction passifs.

3. Fabricant :

DSI Underground Austria GmbH
Alfred-Wagner-Straße 1, 4061 Pasching / Linz, Autriche

4. Système d'évaluation et de vérification de la constance des performances :

1+

5. Document d'évaluation européenne :

DEE 160088-00-0102

6. Évaluation technique européenne :

ETE-21/0869 du 02.08.2022

7. Organisme d'évaluation technique (OET) :

Institut autrichien d'ingénierie de la construction
Schenkenstrasse 4, 1010 Vienne, Autriche

8. Organisme certificateur agréé (NB 1379) :

Université de technologie de Graz

9. Performance(s) déclarée(s):

| | Caractéristique majeure | Emploi prévu | | |
|---|---|---|--|--|
| | | Clou d'ancrage provisoire | Clou d'ancrage définitif | |
| | | | Clou d'ancrage nu | Clou d'ancrage galvanisé à chaud |
| 1 | Résistance à la charge statique des ancrages et des manchons de raccordement | F _{p0.2, nom} : 190 kN, F _{m, nom} : 250 kN, glissement at 65 % F _{p0.2, nom} , manchon de raccordement: 0.9 mm, ancrage: 0.3 mm | | |
| 2 | Résistance à la fatigue des ancrages et des manchons de raccordement | F _{p0.2, nom} : 190 kN, 2σ _a : 80 N/mm ² | | |
| 3 | Transfert de charge à la structure | f _{cm, 0} : 38 N/mm ² , F _{m, nom} : 250 kN | | |
| 4 | Protection anticorrosion pour les clous d'ancrage provisoires | Couverture du coulis de ciment mortier ≥ 15 mm Pièce jointe 1, Figure 1 | - | |
| 5 | Protection anticorrosion et épaisseur sacrifiée à la corrosion pour les clous d'ancrage définitifs | - | Corrosion sacrificielle Pièce jointe 1, Figure 1 Pièce jointe 1, Tableau 1 | - |
| 6 | Protection anticorrosion et épaisseur sacrifiée à la corrosion pour les clous d'ancrage définitifs galvanisés à chaud | - | - | Corrosion sacrificielle Pièce jointe 1, Figure 1 Pièce jointe 1, Tableau 2 |
| 7 | Énergie de frappe et couple | ES: 80 Joule, Mt: 480 Nm à ES: 120 Joule, Mt: 340 Nm | | |
| Barre creuse de tube d'acier soudé | | | | |
| 8 | Forme | Pièce jointe 1, Figure 2 | | |
| 9 | Dimensions | Diamètre externe: 31.1 mm, interne: 20.0 mm | | |
| 10 | Géométrie de surface | Filetage, pas de 12,7 mm, hauteur moyenne de filetage de 1,6 mm f _R : 0,13 | | |
| 11 | Masse par mètre | 2.90 kg/m, écart: - 4.5 % à + 12 % | | |
| 12 | Section transversale | 370 mm ² | | |
| 13 | Caractéristiques d'élasticité | F _{p0.2, nom} : 190 kN, F _{m, nom} : 250 kN, F _m /F _{p0.2} : ≥1.15 | | |
| 14 | Élongation à la force maximale | A _{gt} ≥ 5 % | | |
| 15 | Module d'élasticité | 205 000 N/mm ² | | |
| 16 | Soudure à l'aplatissement | Pas de fissures à la fermeture de l'aplatissement avant le roulage | | |
| 17 | Soudure à l'évasement | Pas de fissure à une dilatation relative ≥ 110 % avec un mandrin de 60° avant le roulage | | |
| 18 | Résistance à la fatigue | F _{p0.2, nom} : 190 kN, 2σ _a : 190 N/mm ² , 2 000 000 cycles | | |
| 19 | Adhérence | τ _{ak} : 5.1 N/mm ² , f _{cm} : 55 N/mm ² | | |
| 20 | Galvanisation à chaud | - | - | ≥ 85 μm |

Les performances du produit identifié ci-dessus sont conformes à l'ensemble des performances déclarées.

Signé au nom du fabricant par :

Signed by:

 8B67F3C8A00D446...

Dipl.-Ing. Dominik Johannes Dendl

Pasching, le 08.04.2026

Déclaration des performances

No. HBS-2026-001 R32-250 Pièce jointe 1

Figure 1: Manchon, écrou

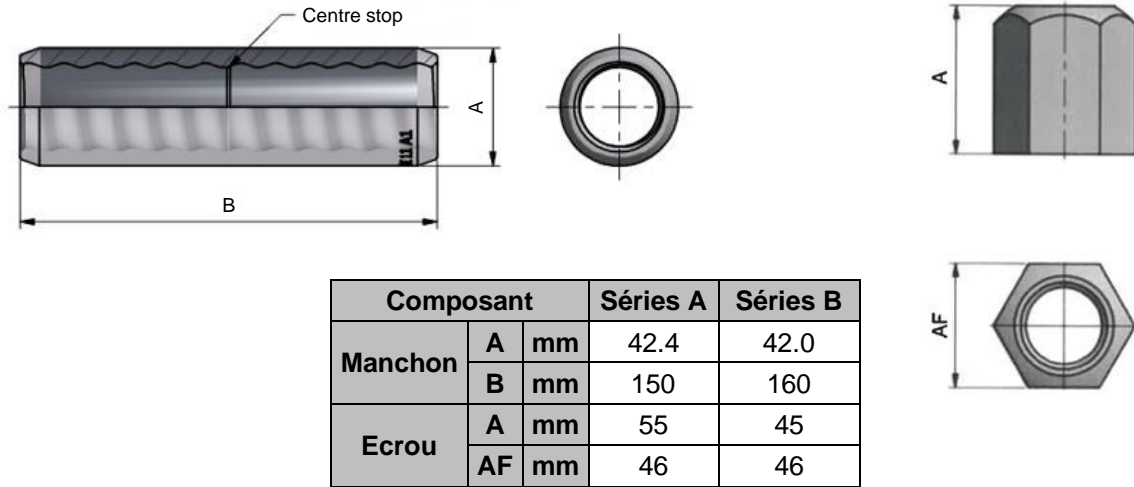


Tableau 1: acier nu

| Temps en années | Charge de corrosion | | |
|-----------------|---|--------|------|
| | Basse | Medium | Haut |
| | Profondeur de corrosion sacrificielle en mm | | |
| 2 | 0 | 0 | 0.2 |
| 7 | 0.2 | 0.2 | 0.5 |
| 30 | 0.3 | 0.6 | - |
| 50 | 0.5 | 1.0 | - |

Tableau 2: acier galvanisé à chaud

| Temps en années | Charge de corrosion | | |
|-----------------|---|--------|------|
| | Basse | Medium | Haut |
| | Profondeur de corrosion sacrificielle en mm | | |
| 2 | 0 | 0 | 0.1 |
| 7 | 0 | 0.1 | 0.4 |
| 30 | 0.1 | 0.4 | - |
| 50 | 0.3 | 0.7 | - |

Figure 2: Barre creuse

